

Р. М. КИРАКОСЯН

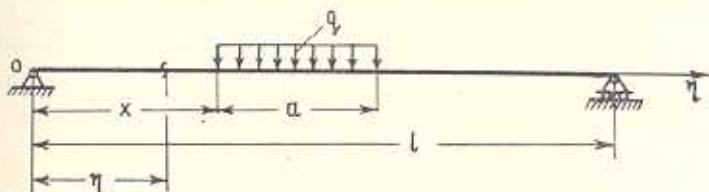
## ОБ УПРУГО-ПЛАСТИЧЕСКОМ ИЗГИБЕ БАЛКИ ПОД ДЕЙСТВИЕМ ДВИЖУЩЕЙСЯ НАГРУЗКИ

Задачи об упруго-пластических перемещениях балок при подвижных сосредоточенных силах рассматривались в работах Н. Л. Чернова ([1] и др). Настоящая работа посвящается упруго-пластическому изгибу балок при подвижных равномерно распределенных нагрузках.

Выясняется поведение упруго-пластических областей во время движения нагрузки и с помощью уравнений задачи упруго-пластического изгиба балки при ее статическом нагружении получаются дифференциальные уравнения поставленной задачи, которые легко интегрируемы в квадратурах. Приведен численный пример.

### 1. Постановка задачи

Рассмотрим балку длиной  $l$  и прямоугольным поперечным сечением высоты  $2h$ , свободно лежащую на двух опорах. Пусть балка несет равномерно распределенную нагрузку интенсивности  $q$  с длиной участка распределения  $a < l/2$ , положение которой будем определять абсциссой левого края участка ее распределения  $x$  (фиг. 1).



Фиг. 1.

В настоящей работе, пренебрегая влияниями касательных напряжений и сил инерции, в геометрически линейной постановке будем рассматривать задачу об упруго-пластическом изгибе балки, когда нагрузка от положения  $x = -a$  движется в сторону другой опоры балки  $\eta = l$ .

### 2. Изгиб балки под действием статически приложенной (неподвижной) нагрузки

Известно [2], что в рамках принятых допущений изгиб упруго-пластически деформируемого участка статически нагруженной балки можно описать зависимостью между кривизной оси и изгибающим моментом балки при ее чистом изгибе

$$\frac{d^2 w}{d\eta^2} = f(M) \quad (2.1)$$

Здесь  $w$  — прогиб,  $M$  — изгибающий момент сечений балки.

Что касается изгиба упруго-деформируемой части балки, то для него имеем уравнение

$$\frac{d^2 w}{d\eta^2} = - \frac{M}{EJ} \quad (2.2)$$

где  $E$  — модуль Юнга материала,  $J$  — инерция поперечного сечения балки.

Очевидно, что решение задачи изгиба балки, имеющей одновременно упруго и упруго-пластически деформируемые части, сводится к интегрированию уравнений (2.1) и (2.2) в соответствующих промежутках с подходящим использованием формул изгибающих моментов

$$\begin{aligned} M_1 &= \frac{aq}{2l} (2l - 2x - a) \eta, & 0 \leq \eta \leq x \\ M_2 &= \frac{aq}{2l} (2l - 2x - a) \eta - \frac{q}{2} (\eta - x)^2, & x \leq \eta \leq x + a \\ M_3 &= \frac{aq}{2l} (a + 2x) (l - \eta), & x + a \leq \eta \leq l \end{aligned} \quad (2.3)$$

граничных условий свободного опирания краев, а также условий неразрывности балки.

Так как наибольший изгибающий момент получится в среднем сечении пролета балки  $\eta = l/2$  при симметричном расположении нагрузки  $x = (l - a)/2$ , то для возможности появления упруго-пластических деформаций необходимо по крайней мере потребовать, чтобы

$$aqh(2l - a) > 8EJ\varepsilon_s \quad (2.4)$$

Максимальный изгибающий момент при данном расположении нагрузки (при фиксированном  $x$ ) действует в сечении  $\eta^*$ , находящемся под нагрузкой

$$\eta^* = x + \frac{a}{2l} (2l - 2x - a), \quad (x < \eta^* < x + a) \quad (2.5)$$

и имеет значение

$$M_{\max}|_{x=\text{const}} = \frac{aq(2l - a)}{8l^2} [a(2l - a) + 4x(l - a) - 4x^2] \quad (2.6)$$

Нетрудно убедиться в том, что в случае

$$a^2 qh(2l - a)^2 < 8EJ\varepsilon_s l^2 \quad (2.7)$$

при приложении нагрузки в непосредственной близости к опоре ( $x = 0$ ) даже в сечении с максимальным изгибающим моментом  $\eta^*|_{x=0}$  пласти-

ческие деформации не образуются, а в противном случае образуется область упруго-пластических деформаций, включающая в себя сечения  $\eta^*$  при  $x=0$ .

Очевидно, что при одновременном соблюдении условий (2.4) и (2.7) будет существовать некоторый участок

$$x_0 < \eta < l - x_0 \quad (2.8)$$

$$x_0 = \frac{l-a}{2} - \frac{l}{2} \sqrt{1 - \frac{8EJ_z}{aqh(2l-a)}}, \quad \left(0 < x_0 < \frac{l-a}{2}\right) \quad (2.9)$$

симметричный относительно середины пролета  $\eta = l/2$ , приложение нагрузки вне пределов которого (т. е. при  $0 < x < x_0$  и  $l-a-x_0 < x \leq l$ ) нигде не образует пластических деформаций, а в его пределах (т. е. при  $x_0 < x < l-a-x_0$ ) в некоторой части балки

$$\eta_1 \leq \eta \leq \eta_2 \quad (2.10)$$

образует область упруго-пластических деформаций, включающую в себя соответствующие сечения максимальных моментов  $\eta^*$ . При этом возможны случаи, когда упруго-пластическая область или вообще не выходит, или местами частично выходит из-под участка распределения нагрузки  $x \leq \eta \leq x+a$ .

Имея в виду то обстоятельство, что изгибающий момент сечений  $\eta = x$  и  $\eta = x+a$  свое наибольшее значение получает при расположениях нагрузки  $x = (2l-a)/4$  и  $x = (2l-3a)/4$  соответственно, легко заключить, что при

$$aqh(2l-a)^2 \leq 16EJ_z l \quad (2.11)$$

область упруго-пластических деформаций не выходит из-под нагрузки. В этом случае для граничных сечений  $\eta_1$  и  $\eta_2$  получим

$$\eta_{1,2} = x + \frac{a(2l-2x-a)}{2l} \mp \frac{1}{2qhl} \sqrt{aq^2 h^3 (2l-2x-a)(2x+a)(2l-a) - 8EJ_z qhl^2} \quad (2.12)$$

$$(x \leq \eta_1 < \eta_2 \leq x+a)$$

Сравнительно сложно выглядят картина для остальных случаев, когда область упруго-пластических деформаций может слева или справа или одновременно и слева и справа выходить из-под участка распределения нагрузки. Для простоты, в дальнейшем будем рассматривать случаи нагрузок, ограниченных снизу и сверху неравенствами (2.4) и (2.11)\*.

\* В случае  $a < l/2$  условие (2.11) является более сильным ограничением для нагрузки сверху, чем условие (2.7).

### 3. Изгиб балки под действием движущейся нагрузки

Из выражений изгибающих моментов (2.3) следует, что существует некоторое сечение под нагрузкой

$$\tau_0 = \frac{lx}{l-a}, \quad (x \leq \tau_0 < x+a) \quad (3.1)$$

которое при движении нагрузки является границей раздела областей разгрузки и нагружения. Таким образом, в сечениях балки

$$0 \leq \tau_1 < \frac{lx}{l-a} \quad (3.2)$$

происходит разгрузка, а в остальных сечениях

$$\frac{lx}{l-a} < \tau_1 \leq l \quad (3.3)$$

— нагружение.

С движением нагрузки (с возрастанием  $x$ ) граница раздела областей разгрузки и нагружения  $\tau_0$  непрерывно перемещается в сторону движения нагрузки, в силу чего область разгрузки (3.2) односторонне распространяется, а область нагружения (3.3), наоборот, суживается.

Исследуя поведение изменения изгибающих моментов в произвольном фиксированном сечении балки  $\tau$  во время движения нагрузки, заключаем, что наибольший изгибающий момент в данном сечении

$$M_0 = M_{\max}|_{\tau=\text{const}} = \frac{aq\tau(2l-a)}{2l^2}(l-\tau) \quad (3.4)$$

возникает при

$$x = \frac{l-a}{l}\tau, \quad \left( \tau = \frac{lx}{l-a} \right) \quad (3.5)$$

т. е. при таком расположении нагрузки, при котором рассмотренное сечение балки является границей раздела областей разгрузки и нагружения. Таким образом, как и следовало ожидать, граница раздела областей разгрузки и нагружения  $\tau_0$  с собой несет максимальные для каждого сечения балки значения изгибающих моментов.

Сравнение значений абсцисс сечения максимальных моментов  $\tau^*$  и границы раздела областей разгрузки и нагружения  $\tau_0$  приводит к неравенствам

$$\begin{aligned} \tau_0 < \tau^* \text{ при } 0 \leq x < \frac{l-a}{2} \\ \tau_0 > \tau^* \text{ при } \frac{l-a}{2} < x \leq l \end{aligned} \quad (3.6)$$

которые означают, что, пока нагрузка не приняла симметричного расположения относительно середины пролета балки  $\tau_1 = l/2$  (при  $x < (l-a)/2$ ), сечение максимальных моментов  $\tau_1^*$  находится в области нагружения, после чего (при  $x > (l-a)/2$ ), наоборот, оно находится в области разгрузки\*.

Ясно, что предел упругих деформаций  $\varepsilon_s$  впервые достигается в крайних волокнах сечения максимального момента  $\tau_1^*$  при  $x = x_0$ . Но так как  $x_0 < (l-a)/2$ , из вышесказанного следует, что при дальнейшем движении нагрузки в первичном упруго-пластическом сечении  $\tau_1^*(x_0)$  некоторое время продолжится процесс *нагружения*. В результате этого вокруг сечения  $\tau_1^*(x_0)$  образуется область упруго-пластических деформаций (2.10), которая с движением нагрузки распространяется налево, направо и в глубь балки. Очевидно, что такое трехстороннее распространение упруго-пластической области продолжится до тех пор, пока односторонне распространяющаяся область разгрузки не доходит до нее.

Из условий

$$\tau_0 = \tau_{1,2} \quad (3.7)$$

с учетом (2.12) и (3.1) для положений нагрузки, при которых граница раздела областей разгрузки и нагружения совпадает соответственно с левым и правым краями упруго-пластической области, получаем

$$x_{1,2} = \frac{l-a}{2} \left[ 1 \mp \sqrt{1 - \frac{8Ej\varepsilon_s}{aqh(2l-a)}} \right] \quad (3.8)$$

Таким образом, область разгрузки при  $x = x_1 > x_0$  в сечении  $\tau_1(x_1)$  доходит до левого края упруго-пластической области, после чего, распространяясь дальше, она включает в себя все новые и новые сечения упруго-пластического деформирования. При  $x = (l-a)/2$  в сечении  $\tau_1 = l/2$  область разгрузки догоняет, а потом переходит сечения максимальных моментов  $\tau_1^*$ . Когда  $x = x_2$  ( $x_2 > x_1$ ), область разгрузки в сечении  $\tau_2(x_2)$  догоняет и правый край упруго-пластического деформирования, тем самым прекращая дальнейшее ее распространение.

Очевидно, что каждое сечение  $\tau$ , находящееся в области разгрузки (3.2), разгружается от своего наибольшего значения изгибающего момента  $M_0$  до того значения  $M$ , которое соответствует данному расположению нагрузки  $x$ .

Следовательно, размер разгрузки в сечениях  $\tau < \tau_0$  будет

$$\Delta M_2 = M_0 - M_2 = \frac{q}{2l^2} [F(\tau_1 - x)^2 + a\tau_1(2lx - 2l\tau_1 + a\tau_1)] \quad (3.9)$$

$$\text{при } x < \tau_1 < x + a$$

$$\Delta M_1 = M_0 - M_1 = \frac{aq}{2l^2} [2lx - \tau_1(2l-a)] \tau_1 \quad \text{при } \tau_1 < x \quad (3.10)$$

\* Этот результат можно получить и из выражения максимальных моментов (2.6), откуда явно видно, что максимальный момент с движением нагрузки, пока  $x < (l-a)/2$ , возрастает, после чего начинает убывать.

Пользуясь вышеизложенным анализом поведений областей разгрузки и упруго-пластического деформирования во время движения нагрузки, перейдем к построению систем дифференциальных уравнений изгиба характерных участков балки при различных расположениях движущейся нагрузки.

Пусть нагрузка, удовлетворяющая условиям (2.4) и (2.11), из положения  $x = -a$  движется в сторону другой опоры балки  $\eta = l$ . Ясно, что, пока  $x < x_0$ , балка будет изгибаться только упруго (причем, пока  $x < 0$ , она будет изгибаться под действием нагрузки с удлиняющимся участком распределения  $a' = a + x$ ), в силу чего наблюдение за движением нагрузки имеет смысл лишь при  $x > x_0$ .

Так как при  $x_0 < x < x_1$  упруго-пластически деформируемый участок балки (2.10) находится под нагрузкой и непрерывно нагружается, то изгиб этого участка опишется дифференциальным уравнением (2.1), где следует брать  $M = M_2$ .

Изгиб остальных, упруго-деформируемых, участков балки, для которых неважно в каких условиях (нагружения или разгрузки) они деформируются, опишется дифференциальным уравнением (2.2) с подходящим выбором формулы изгибающего момента. Следовательно, система дифференциальных уравнений задачи при расположении движущейся нагрузки  $x_0 < x < x_1$  примет вид

$$\begin{aligned}
 & (x_0 < x < x_1) \\
 & \frac{d^2 w}{d\eta^2} = -\frac{M_1}{EJ} \quad 0 \leq \eta < x \\
 & \frac{d^2 w}{d\eta^2} = -\frac{M_2}{EJ} \quad x < \eta < \eta_1 \\
 & \frac{d^2 w}{d\eta^2} = f(M_2) \quad \eta_1 < \eta < \eta_2 \\
 & \frac{d^2 w}{d\eta^2} = -\frac{M_2}{EJ} \quad \eta_2 < \eta < x + a \\
 & \frac{d^2 w}{d\eta^2} = -\frac{M_3}{EJ} \quad x + a < \eta \leq l
 \end{aligned} \tag{3.11}$$

При расположениях нагрузки  $x_1 < x < \frac{lx_2}{l-a}$  необходимо различать следующие два случая:

$$\frac{lx_1}{l-a} \geq x_2 \tag{3.12}$$

$$\frac{lx_1}{l-a} < x_2 \tag{3.13}$$

Для краткости рассмотрим только случай (3.12).

Тогда разгружаемая часть  $\frac{lx_1}{l-a} < \eta < \frac{lx}{l-a}$  упруго-пластически деформируемого участка балки при  $x_1 < x < x_2$  целиком находится под нагрузкой и, следовательно, разгружается в размере  $\Delta M_2$ . Имея в виду, что разгрузка является упругим процессом и то, что каждое упруго-пластическое сечение разгружается от значения кривизны  $f(M_0)$ , для этих сечений при  $x_1 < x < x_2$  будем иметь

$$\frac{d^2 w}{d\eta^2} = f(M_0) + \frac{\Delta M_2}{EJ} \quad (3.14)$$

Ясно, что изгиб остальной нагружаемой части упруго-пластически деформируемого участка  $\frac{lx}{l-a} < \eta < \eta_2$  опишется уравнением (2.1), а изгиб упруго деформируемых участков балки — уравнением (2.2). Следовательно, в случае (3.12), когда движущаяся нагрузка имеет расположение  $x_1 < x < x_2$ , система дифференциальных уравнений задачи будет

$$\begin{aligned} & (x_1 < x < x_2) \\ & \frac{d^2 w}{d\eta^2} = -\frac{M_1}{EJ}, \quad 0 \leq \eta < x \\ & \frac{d^2 w}{d\eta^2} = -\frac{M_2}{EJ}, \quad x < \eta < \frac{lx_1}{l-a} \\ & \frac{d^2 w}{d\eta^2} = f(M_0) + \frac{\Delta M_2}{EJ}, \quad \frac{lx_1}{l-a} < \eta < \frac{lx}{l-a} \\ & \frac{d^2 w}{d\eta^2} = f(M_2), \quad \frac{lx}{l-a} < \eta < \eta_2 \\ & \frac{d^2 w}{d\eta^2} = -\frac{M_3}{EJ}, \quad \eta_2 < \eta < x+a \\ & \frac{d^2 w}{d\eta^2} = -\frac{M_3}{EJ}, \quad x+a < \eta \leq l \end{aligned} \quad (3.15)$$

При  $x_2 < x < \frac{lx_1}{l-a}$  упруго-пластический участок

$$\frac{lx_1}{l-a} < \eta < \frac{lx_2}{l-a} \quad (3.16)$$

продолжает находиться под нагрузкой и целиком разгружается в размере  $\Delta M_2$ . Имея в виду это обстоятельство, для системы дифференциальных уравнений задачи в данном случае получим

$$\left( x_2 < x < \frac{lx_1}{l-a} \right)$$

$$\frac{d^2 w}{d\eta^2} = -\frac{M_1}{EJ}, \quad 0 \leq \eta < x$$

$$\frac{d^2 w}{d\eta^2} = -\frac{M_2}{EJ}, \quad x < \eta < \frac{lx_1}{l-a}$$

$$\frac{d^2 w}{d\eta^2} = f(M_0) + \frac{\Delta M_2}{EJ}, \quad \frac{lx_1}{l-a} < \eta < \frac{lx_2}{l-a} \quad (3.17)$$

$$\frac{d^2 w}{d\eta^2} = -\frac{M_2}{EJ}, \quad \frac{lx_2}{l-a} < \eta < x+a$$

$$\frac{d^2 w}{d\eta^2} = -\frac{M_3}{EJ}, \quad x+a < \eta \leq l$$

Далее возможны два случая

$$\frac{lx_2}{l-a} + a \leq l \quad (3.18)$$

$$\frac{lx_2}{l-a} + a > l \quad (3.19)$$

В случае (3.18) при  $\frac{lx_1}{l-a} < x < \frac{lx_2}{l-a}$  нагрузка не доходит до правой опоры балки  $\eta = l$ . В случае же (3.19) она при  $x = l-a < \frac{lx_2}{l-a}$  доходит до этой опоры и в дальнейшем на балку действует с укорачивающимся участком распределения

$$a' = a - x \quad (3.20)$$

Отметим, что сечения упруго-пластического участка балки  $\frac{lx_1}{l-a} < \eta < x$ , которые освобождаются от нагрузки, будут разгружаться на  $\Delta M_1$ .

Приведем системы дифференциальных уравнений задачи только для случая (3.18)

$$\left( \frac{lx_1}{l-a} < x < \frac{lx_2}{l-a} \right)$$

$$\frac{d^2 w}{d\eta^2} = -\frac{M_1}{EJ}, \quad 0 \leq \eta < \frac{lx_1}{l-a}$$

$$\frac{d^2 w}{d\eta^2} = f(M_0) + \frac{\Delta M_1}{EJ}, \quad \frac{lx_1}{l-a} < \eta < x$$

$$\frac{d^2 w}{d\eta^2} = f(M_0) + \frac{\Delta M_2}{EJ}, \quad x < \eta < \frac{lx_2}{l-a} \quad (3.21)$$



$$\frac{d^2 w}{d\eta^2} = -\frac{M_2}{EJ}, \quad \frac{lx_2}{l-a} < \eta < x+a$$

$$\frac{d^2 w}{d\eta^2} = -\frac{M_3}{EJ}, \quad x+a < \eta \leq l$$

$$\left( \frac{lx_2}{l-a} < x < l-a \right)$$

$$\frac{d^2 w}{d\eta^2} = -\frac{M_1}{EJ}, \quad 0 \leq \eta < \frac{lx_1}{l-a}$$

$$\frac{d^2 w}{d\eta^2} = f(M_0) + \frac{\Delta M_1}{EJ}, \quad \frac{lx_1}{l-a} < \eta < \frac{lx_2}{l-a}$$

$$\frac{d^2 w}{d\eta^2} = -\frac{M_1}{EJ}, \quad \frac{lx_2}{l-a} < \eta < x \quad (3.22)$$

$$\frac{d^2 w}{d\eta^2} = -\frac{M_2}{EJ}, \quad x < \eta < x+a$$

$$\frac{d^2 w}{d\eta^2} = -\frac{M_3}{EJ}, \quad x+a < \eta \leq l$$

$$(l-a < x \leq l)$$

$$\frac{d^2 w}{d\eta^2} = -\frac{M'_1}{EJ}, \quad 0 \leq \eta < \frac{lx_1}{l-a}$$

$$\frac{d^2 w}{d\eta^2} = f(M_0) + \frac{M_0 - M'_1}{EJ}, \quad \frac{lx_1}{l-a} < \eta < \frac{lx_2}{l-a} \quad (3.23)$$

$$\frac{d^2 w}{d\eta^2} = -\frac{M'_1}{EJ}, \quad \frac{lx_2}{l-a} < \eta < x$$

$$\frac{d^2 w}{d\eta^2} = -\frac{M'_2}{EJ}, \quad x < \eta \leq l$$

Здесь штрихом обозначены значения изгибающих моментов балки от нагрузки с длиной участка распределения  $a'$ .

Полагая в (3.23)  $x = l$ , получим систему дифференциальных уравнений

$$\frac{d^2 w}{d\eta^2} = 0, \quad 0 \leq \eta < \frac{lx_1}{l-a}$$

$$\frac{d^2 w}{d\eta^2} = f(M_0) + \frac{M_0}{EJ}, \quad \frac{lx_1}{l-a} < \eta < \frac{lx_2}{l-a} \quad (3.24)$$

$$\frac{d^2 w}{d\eta^2} = 0, \quad \frac{lx_2}{l-a} < \eta \leq l$$

соответствующую случаю, когда нагрузка выходит за пределы балки. Аналогичным путем можно составить дифференциальные уравнения для остальных случаев.

Наконец, отметим, что все рассмотренные дифференциальные уравнения легко интегрируемы в квадратурах, так как их правые части являются известными функциями  $\eta$  и  $x$ . Отметим также, что к краевым условиям свободного опирания концов балки в каждом конкретном случае следует присоединить еще условия ее неразрывности (непрерывности  $w$  и  $dw/d\eta$ ) в сечениях, разделяющих характерные участки балки.

Естественно, что вышеприведенные системы дифференциальных уравнений упруго-пластического изгиба балки при  $x > x_1$  отличаются от соответствующих систем изгиба балки под действием неподвижной (статически приложенной) нагрузки. Эта разница обусловлена только тем, что в случае движущейся нагрузки существуют участки разгрузки, в сечениях которых кривизна оси балки за счет остаточных пластических деформаций больше, чем в случае неподвижной нагрузки. Исходя из этих рассуждений и имея в виду неразрывность балки, можно заключить, что при  $x > x_1$  прогибы неопорных сечений балки в случае движущейся нагрузки больше, чем в случае неподвижной нагрузки. Вопрос о том, как именно зависят прогибы балки от способа ее нагружения, можно выяснить после окончательного решения вышеприведенных систем дифференциальных уравнений, что, по-видимому, возможно лишь численным путем.

### Численный пример

Пусть материал балки таков, что для него справедливы соотношения теории малых упруго-пластических деформаций с линейным упрочнением [2]

$$\begin{aligned} \sigma &= E\varepsilon & 0 \leq \varepsilon \leq \varepsilon_s \\ \sigma &= A + B\varepsilon & \varepsilon \geq \varepsilon_s \\ d\varepsilon &= Ed\varepsilon & d\varepsilon \leq 0 \quad (\varepsilon > 0) \end{aligned} \quad (4.1)$$

Здесь  $\sigma$ ,  $\varepsilon$  — напряжение и деформация,  $\varepsilon_s$  — предел упругих деформаций,  $E$  — модуль Юнга,  $B$  и  $A = (E - B)\varepsilon_s$  — характеристики материала за пределом упругости.

Тогда нетрудно убедиться в том, что зависимость между кривизной и изгибающим моментом оси балки при чистом упруго-пластическом ее изгибе (2.1) является отрицательным решением кубического уравнения

$$\left(\frac{d^2w}{d\eta^2}\right)^3 + \frac{3(M - Ah^2b)}{2Bh^3b} \left(\frac{d^2w}{d\eta^2}\right)^2 + \frac{A\varepsilon_s^2}{2Bh^3} = 0 \quad (4.2)$$

( $b$  — ширина поперечного сечения).

Рассмотрим случай  $x \geq l$ , когда нагрузка выходит за пределы балки. Интегрируя уравнения (3.24) и удовлетворяя соответствующим условиям и при этом имея в виду симметричность функции

$$F(\tau) = f(M_0) + \frac{M_0}{Ej}$$

относительно середины пролета балки  $\tau = l/2$ , для прогибов получим

$$w = -\frac{C}{l \sqrt{1 - \frac{8Ej\varepsilon_s}{aqh(2l-a)}}} \tau, \quad 0 \leq \tau \leq \frac{lx_1}{l-a}$$

$$w = -\frac{C}{l \sqrt{1 - \frac{8Ej\varepsilon_s}{aqh(2l-a)}}} \tau + R(\tau), \quad \frac{lx_1}{l-a} \leq \tau \leq \frac{lx_2}{l-a}$$

$$w = -\frac{C}{l \sqrt{1 - \frac{8Ej\varepsilon_s}{aqh(2l-a)}}} (l - \tau), \quad \frac{lx_2}{l-a} \leq \tau \leq l$$

где приняты обозначения

$$R(\tau) = \int_{\frac{lx_1}{l-a}}^{\tau} \left( \int_{\frac{lx_1}{l-a}}^{\tau_1} F(\tau_1) d\tau_1 \right) d\tau, \quad C = R(\tau) \Big|_{\tau=\frac{lx_2}{l-a}}$$

Для иллюстрации рассмотрим следующий числовой пример:

$$E = 10^6 \text{ кг/см}^2, \quad A = 990 \text{ кг/см}^2, \quad B = 10^4 \text{ кг/см}^2,$$

$$\varepsilon_s = 10^{-3}, \quad b = 1 \text{ см}, \quad h = 5 \text{ см}, \quad l = 300 \text{ см}, \quad a = 50 \text{ см},$$

$$q = 6 \text{ кг/см}, \quad (Ej\varepsilon_s = 83333 \text{ кг/см}^2)$$

В нижеприведенной таблице представлены значения функции  $R(\tau)$  для некоторых сечений промежутка  $\frac{lx_1}{l-a} \leq \tau < l/2$ .

$$(C = -0.079 \text{ см})$$

$\tau$ см	84.28	90.41	94.39	98.33	102.25	106.19	110.19	114.30	118.60	123.23	128.42	134.81	150
$R(\tau)$ $\cdot 10^{-4}$ см	0	0.021	0.14	0.50	1.31	2.84	5.45	9.63	16.10	26.04	41.67	68.62	86.25

Ռ. Մ. ԿԻՐԱԿՈՍԻԱՆ

ՇԱՐՃՎՈՂ ԲԵՌԻ ԱԶԴԵՑՈՒԹՅԱՆ ՏԱԿ ԳՏՆՎՈՂ շԵՄԱՆԻ  
ԱՌԱՋԳԱՊԼԱՍՏԻԿԱԿԱՆ ԾՌՄԱՆ ՄԱՍԻՆ

Ա մ փ ն փ ն ի մ

Դիտարկվում է հեծանի առաձգա-պլաստիկական ծռման խնդիրը հափտասրաչափ բաշխված բեռի ազդեցության տակ, երբ բեռը դանդաղ շարժվում է հեծանի մի հենարանից դեպի մյուսը: Պարզարանելով հեծանի առաձգա-պլաստիկական տիրույթների վարքը բեռի շարժման ժամանակ, դժայնորեն ամրացվող նյութի փոքր առաձգա-պլաստիկական դեֆորմացիաների տեսության [2] հիման վրա, ստացվում են խնդրի զիֆերենցիալ հավասարումները, որոնք հեշտ ինտեգրելի են քառակուսայման միջոցով: Դիտարկված է թվային օրինակ:

R. M. KIRAKOSIAN

ON THE ELASTIC-PLASTIC BENDING OF A BEAM  
UNDER A MOVING LOAD

S u m m a r y

The problem of an elastic-plastic bending of a beam under the action of a uniformly distributed load is considered. The load moves slowly and unilaterally from one support of the beam to the other.

The behaviour of elastic-plastic regions of the beam at the time of motion of the load on the basis of the theory of some elastic-plastic deformations [2] of linear strengthening materials is considered. The differential equations of the problem are obtained, which is easily integrated by the quadrature. A numerical example is considered.

## Л И Т Е Р А Т У Р А

1. Чернов Н. А. Об упруго-пластических перемещениях двутавровых балок при подвижных нагрузках. Прикл. механика, т. III, вып. 8, 1967.
2. Ильюшин А. А. Пластичность. Гостехиздат, М.—Л., 1948.